

(HUANJING KEXUE)

ENVIRONMENTAL SCIENCE

第38卷 第8期

Vol.38 No.8

2017

中国科学院生态环境研究中心 主办

斜 学 出 版 社 出版



林 佬 种 享 (HUANJING KEXUE)

ENVIRONMENTAL SCIENCE

第38卷 第8期 2017年8月15日

目 次

用于滤膜称重的饱和氯化镁溶液恒湿系统搭建与评估 ************************************
钢铁工业排放颗粒物中碳组分的特位 ····································
吊州印入气 PM _{2.5} 中 PAHs 冯朵特他及米娜胜好
兰州河谷盆地大气多环芳烃干沉降通量及来源 剧媛丽,刘攀亮,于周锁,高宏,毛潇萱,马建民,黄韬(3120)
株洲市大气降尘中元素特征及来源分析····································
传统北京烤鸭烤制过程中大气污染物的排放特征 徐敏,何万清, 羡慕,韩力慧,潘涛,石发车(3139)
基于牛蕔测试的重型柴油牛尾气典型烷烃排放特值 "
基于 wavelet-SVM 的 PM_{10} 浓度时序数据预测 ····································
厂州港船舶停泪上况非放因子实测及排放量初步估算。
黄学良,张洲,杨威强,李晟,朱明,方华,何俊杰,陈俊文,万承浩,张艳利,刘国光,黄祖照,王宇骏,王新明(3162)
沙尘大气对生物气溶胶中总微生物浓度及粒径分布的影响 李鸿涛, 祁建华, 董立杰, 高冬梅(3169)
沙尘天气对生物气溶胶中总微生物浓度及粒径分布的影响 李鸿涛,祁建华,董立杰,高冬梅(3169) 典型生活垃圾处理设施恶臭排放特征及污染评价 张明,唐访良,俞雅雲,徐建芬,陈金汉,余波,周姗,张伟(3185) 杭州地区城区降雪中全氟化合物的污染特征 张明,唐访良,俞雅雲,徐建芬,陈金汉,余波,周姗,张伟(3185) 黄浦江流域典型污水中不同粒径胶体的三维荧光光谱特征 爰明华,晏彩霞,杨毅,周俊良,刘敏(3192) 漓江地表水体有机碳来源 赵海娟,肖琼,吴夏,刘升,苗迎,帝亚,善思宫(2300)
杭州地区城区降雪中全氟化合物的污染特位 张明,唐访良,俞雅雲,徐建芬,陈金汉,余波,周姗,张伟(3185)
黄湘江流域典型污水中不同粒径胶体的二维荧光光谱特征···································
周江地表水体有机碳来源 ····································
- 发学: 2017 大双四对 典望石俗小件小化子及俗胜儿仇w的影响 ·········· 天飞红, 湘夜天, 字廷冯, 瓜闽, 字丽, 贝心于(5209)
城市不同功能区地表水重金属污染特性比较:以宁波为例
地下水主要组分水化学异常识别方法对比:以柳江盆地为例 张小文,何江涛,彭聪,张昌延,倪泽华(3225) 人为扰动背景下城郊溪流底质磷的生物-非生物吸收潜力分析 李如忠,叶舟,高苏蒂,郑侠(3235) 长江口低氧区沉积物中磷的形态及其环境意义 如如果,越家业,冉祥滨,赵晨英,刘季花,王小静(3243)
人为扰动背景下城郊溪流底质鳞的生物-非生物吸収潜力分析
长江口低氧区沉积物中磷的形态及具环境意义
三峡库区小流域不同土地利用类型"土壤-水体"氮磷含量特征及其相互关系
黄土高原降雨驱动下流域碳输移特征及其碳流失评估:以羊圈沟坝系流域为例
新型溴代苯酚类消毒副产物的氯化降解机制
新望保气本防尖相每副广彻的氯化降胜机制 ····································
深形心及低蜓剂组成对低蜓-超滤过住的影响····································
仅条刊仔研住梁切能杆行但及共与环境囚丁相大性分析 问答,学与玉,惭爽,张洪波,重聪聪,飑半球,天芯六(3290)
石石小序叶绿系 a 时至万年及兵影响四丁万列 · · · · · · · · · · · · · · · · · · ·
个问证地快望中枢杀似生物的多样性
工程例似生物杆洛结构随学卫受化行位 ····································
基丁尚迪重测序的流化床生物滤碲细图杆洛结构分析 ····································
漢形念及混鍵剂组成对混凝-超滤过程的影响
基丁城印行小页源化的ໄ观深帅匹与行小顶处理
生物展知堂后介小环课伊化馆美伯侬及小的双木
顺气但夹苇惟化苇化-生化柄百工乙体及处理床化工及小
pn 件面对两件从笔数笔化困处理占两小行小脱氮双能的影响 ················· ↓ 标类,用内,字序,工玩版,大图你,工玩版(3309) ····································
借相及小印刀业明化-//、科英利化加须的可钉住
受到级外中北的似土初回收及共利亚中至量的惟凡付住 ************************************
本角 大田 AIVANIMOA 「一切一一中山尺柱
高龄47.万百每每.化休
大陸
\mathbb{R}^{1} 的人,我们们就是一个一个一个一个一个一个一个一个一个一个一个一个一个一个一个一个一个一个一个
不同施肥方式下紫色+ N O 与 NO 的排放特征
地膜覆盖对蔬菜地甲烷排放的影响 ····································
微气泡臭氧催化氧化-生化耦合工艺深度处理煤化工废水 刘春,周洪政,张静,陈晓轩,张磊,郭延凯(3362) pH 冲击对海洋厌氧氨氧化菌处理含海水污水脱氮效能的影响 于德爽,周同,李津,王晓霞,吴国栋,王骁静(3369) 酒精废水部分亚硝化-厌氧氨氧化脱氮的可行性
长期施肥酸性旱地土壤硝化活性及自养硝化微生物特征 徐白璐,钟文辉,黄欠如,秦红益,邓欢,韩成(3473)
施加碳酸钙对酸性土壤微生物氮循环的影响 郭安宁,段桂兰,赵中秋,唐仲,王杨扬,王伯勋(3483)
水稻不同生育期根际与非根际土壤胞外酶对施氮的响应 魏亮, 汤珍珠, 祝贞科, 蔡观, 葛体达, 王久荣, 吴金水(3489)
凋落物呼吸温度敏感性的变化特征及其影响因素
凋落物呼吸温度敏感性的变化特征及其影响因素 ····································
小麦秸秆驱动菱铁矿执解制备磁性生物质碳及其吸附 Cd ^{2 +} 活性
型 4 T 到海池 倒身化 片虱扒 木林串 防夕 防工电 (2510)
交通污染暴露对 DNA 甲基化的影响 ····································
外接菌种对污泥堆肥效能及堆体细菌群落的影响 杨萍萍, 尹华, 彭辉, 唐少宇, 卢妙, 刘皓(3536)
交通污染暴露对 DNA 甲基化的影响
《环境科学》征稿简则(3280) 《环境科学》征订启事(3301) 信息(3353,3472,3535)

新型溴代苯酚类消毒副产物的氯化降解机制

李欢,李正魁,李爱民,周庆,王莹,潘旸*

(南京大学环境学院,污染控制与资源化研究国家重点实验室,南京 210023)

摘要:最近,13 种新型极性卤代苯酚类消毒副产物在氯化消毒后的饮用水中被发现,它们按结构被分成4组,分别是二卤-4-羟基苯甲醛、二卤-4-羟基苯甲酸、二卤水杨酸和三卤苯酚.为研究它们在氯化消毒过程中的降解机制,选取了其中的4种全溴代种类,即3,5-二溴-4-羟基苯甲醛、3,5-二溴-4-羟基苯甲酸、3,5-二溴水杨酸以及2,4,6-三溴苯酚,利用 UPLC/ESI-tqMS中的前体离子扫描,多反应监测和子离子扫描,鉴定了这几种消毒副产物在氯化消毒过程中的中间产物以及终产物,并根据这些中间产物和终产物与消毒时间的关系推测了其降解路径.结果表明,除了3,5-二溴水杨酸相对较稳定外,其余3种消毒副产物在氯化消毒过程中不稳定,通过取代、水解以及氧化等过程最终降解为卤乙酸等脂肪族小分子消毒副产物.在降解过程中有许多中间产物被检测并鉴定出来,其中包含一组具有五元环结构的新型消毒副产物(三卤代-羟基环戊烯二酮).

关键词:消毒副产物; 苯酚类消毒副产物; 氯化消毒; 降解机制

中图分类号: X131.2 文献标识码: A 文章编号: 0250-3301(2017)08-3273-08 DOI: 10.13227/j. hjkx. 201612221

New Bromated Phenolic Disinfection Byproducts: Mechanism of Their Decomposition During Chlorination

LI Huan, LI Zheng-kui, LI Ai-min, ZHOU Qing, WANG Ying, PAN Yang*
(State Key Laboratory of Pollution Control and Resource Reuse, School of the Environment, Nanjing University, Nanjing 210023, China)

Abstract: Recently, 13 new phenolic halogenated disinfection by-products (DBPs) have been reported in chlorinated drinking water and have been classified into four groups: dihalo-4-hydroxybenzaldehydes, dihalo-4-hydroxybenzoic acid, dihalo-salicylic acids, and trihalo-phenols. In this work, the four fully brominated species (3,5-dibromo-4-hydroxybenzoic acid, 3,5-dibromosalicylic acid, 2,4,6-tribromophenol, and 3,5-dibromo-4-hydroxybenzaldehyde) were selected as representatives, and the decomposition mechanism of these new DBPs during chlorination was studied with the aid of ultra performance liquid chromatography/electrospray ionization triple-quadrupole mass spectrometry (precursor ion scan, multiple reaction monitoring, and product ion scan). Except for 3,5-dibromosalicylic acid, the new DBPs were not stable and could be finally decomposed to haloacetic acids through multistep substitution, hydrolysis, and oxidation. Various decomposition intermediate DBPs were detected, including a new group of halogenated DBPs with cyclic structures (trihalo-hydroxyl-cyclopetene-diones).

Key words: disinfection by-products; phenolic disinfection by-products; chlorination; decomposition mechanism

从 20 世纪 70 年代开始,研究人员发现饮用水在经过氯消毒之后往往会生成一些对人体健康产生危害的副产物,比如三卤甲烷(THMs)、卤代乙酸(HAAs)、卤乙腈(HANs)等,因此消毒副产物的生成和控制一直以来都是饮用水领域的关注焦点^[1]. 自从三卤甲烷第一次在饮用水中被发现以来,已经有大量的研究致力于探究卤代消毒副产物的生成机制. Rook^[2]首先提出了三卤甲烷由饮用水消毒过程中氯和天然有机物反应产生的猜想. 然而,天然有机物的结构过于复杂以至于大多数研究者使用模型化合物来揭示能够生成三卤甲烷的结构或者官能团^[3,4]. Reckhow等^[5]研究发现许多芳香族和脂肪族模型化合物在氯化消毒后都能产生氯仿、三氯乙酸以及二氯乙酸. 因此,他们开创性地提出了三卤甲烷和卤乙酸生成机制的广义模型:

氯和天然有机物的氧化反应导致诸如β-二酮类基团的产生;β-二酮类基团上的活性碳被氯取代;水解然后形成酮类中间产物,其中羰基一边是二氯甲基,另一边是 R 基团;如果 R 基团是 OH 或者 OR,它将会水解产生二氯乙酸;否则,它会继续被氯化生成可水解的二氯甲基类物质.关于溴代苯酚类消毒副产物氯化生成机制的研究还很少,虽然一般认为饮用水消毒过程中,游离卤素原子会攻击天然有机大分子中的苯酚基团而生成卤代消毒副产物,但卤素在整个氧化过程中是如何转移、

收稿日期: 2016-12-26; 修订日期: 2017-03-08

基金项目: 国家自然科学基金项目(51438008,51408296); 江苏省

自然科学基金项目(BK20140607)

作者简介: 李欢(1991~),男,硕士,主要研究方向为饮用水新型消毒副产物的检测鉴定、生成降解机制和控制技术,E-mail; lihuan5103@126.com

* 通信作者,E-mail:panyang@nju.edu.cn

如何与碳结合尚不明了.

溴离子在世界各地的饮用水水源中广泛存在,平均浓度大约为 0.1 mg·L⁻¹. 在饮用水消毒过程中,溴离子都能够被氯、氯胺等消毒剂氧化生成次溴酸,进而与水源水中的天然有机物反应生成溴代消毒副产物^[6~10]. 有研究表明,溴代消毒副产物比它的氯代同系物具有更强的细胞毒性和遗传毒性^[11~13]. 在沙门氏菌和仓鼠卵巢细胞毒性测试中,溴乙酸的毒性分别是氯乙酸的 18.4 倍和 89.8 倍;在仓鼠卵巢细胞遗传毒性测试中,溴乙酸的毒性是氯乙酸的 23.6 倍^[14,15];此外,溴代消毒副产物也更容易引起染色体畸变^[16]. 上述这些毒性数据反映出溴代消毒副产物研究的重要性.

气相色谱/质谱联用是检测消毒副产物的常规 方法. 然而,该方法只适用于检测非极性、疏水性 和挥发性物质[17],并不适用于检测极性、亲水性和 非挥发性物质. 而在饮用水消毒过程中产生的溴代 消毒副产物,除溴代 THMs 外大部分都是极性甚至 强极性物质,所以气相色谱/质谱并不适合检测此类 物质[18,19]. 近年来, Zhang 等[20] 开发了基于超高效 液相色谱/电喷雾电离三重四极杆质谱(UPLC/ESItqMS)的前体离子扫描(PIS)方法,并应用于快速选 择性地检测饮用水中的极性溴代消毒副产物,通过 设定 PIS m/z 79/81,几乎所有的极性溴代消毒副产 物都可以被检测到. 在此基础上, Pan 等[21] 应用这 种方法在饮用水中检测并鉴定出了13种新型卤代 苯酚类消毒副产物,并把它们分成4组,分别为:二 卤-4-羟基苯甲醛、二卤-4-羟基苯甲酸、二卤水杨酸 和三卤苯酚. 有研究显示,这些新型卤代苯酚类消 毒副产物在氯化消毒中不稳定,在氯过量的情况下 容易进一步降解最终生成 HAAs^[22]. 然而,目前关 于它们的具体氯化降解机制的相关研究还很少.

本文主要针对这 4 组新型卤代苯酚类消毒副产物,探究它们在氯化消毒过程中降解机制,并且检测鉴定了它们在氯化消毒过程中产生的中间产物,根据实验得到的信息来推测它们的氯化降解机制.

1 材料与方法

1.1 实验仪器与试剂

实验仪器: 美国 Waters 公司 Acquity UPLC/Xevo ESI-tqMS; 德国 IKA 公司 RV8 旋转蒸发仪; 美国 Harvard 公司 Pump 11 Elite 微量进样泵; 美国 Thermo Fisher Scientific 公司 Barnstead Micropure 超纯水机、pH 计以及磁力搅拌器.

38 卷

实验试剂:实验所用的卤代有机物纯度均为色谱纯或优级纯,包括 3,5-二溴-4-羟基苯甲醛(Alfa Aesar)、3,5-二溴-4-羟基苯甲酸(fluorochem)、3,5-二溴水杨酸(J&K Scientific, Ltd.)、2,4,6-三溴苯酚(Sigma-aldrich)、2-溴丙烯酸(J&K Scientific Ltd)、溴顺丁烯二酸(Sigma-aldrich)、二溴乙酸(AccuStandard)、3-溴-5-氯-4-羟基苯甲酸、3-溴-5-氯水杨酸(Enamine);次氯酸钠(Tokyo Chemical Industry Co., Ltd.)、亚硫酸钠(Sigma-aldrich)、浓硫酸(南京化学试剂有限公司)、硫酸钠(Sigma-aldrich)、甲基叔丁基醚(Sigma-aldrich)、乙腈(Sigma-aldrich)、甲醇(Sigma-aldrich).

1.2 模拟水样配制

为简化实验过程和排除其它有机物对实验结果的干扰,本研究选取了13种新型卤代苯酚类消毒副产物中的4种全溴代种类的标准品(即3,5-二溴-4-羟基苯甲醛、3,5-二溴水杨酸、2,4,6-三溴苯酚)作为模型化合物来进行氯化消毒实验.为了考察这4种新型苯酚类消毒副产物在氯化消毒中所产生中间产物和最终产物的种类和浓度随时间的变化趋势,设计了4组实验(表1).每组实验配制了6个反应不同时间的水样,分别为10 min、30 min、1 h、3 h、6 h、12 h,水样配制过程如下:称取5 mg 每组所对应的全溴代消毒副产物标准品,溶于1 L 超纯水中,用4 mg·L⁻¹(以 Cl₂ 计)的NaOCl 消毒,并将 pH 调至7.5. 所有样品都在室温下(~20℃)反应,反应结束后,余氯用 105%的Na,SO₃ 淬灭.

表 1 4组批次实验设计序列

Table 1 Design parameters of four batch experiments					
组别	1	2	3	4	
模型化合物	3,5-二溴-4-羟基苯甲醛	3,5-二溴-4-羟基苯甲酸	3,5-二溴水杨酸	2,4,6-三溴苯酚	
质量浓度/mg·L ⁻¹	5	5	5	5	
消毒剂 NaOCl(以 Cl ₂ 计)/mg·L ⁻¹	4	4	4	4	
消毒时间/min	10、30、180、360、720	10、30、180、360、720	10、30、180、360、720	10、30、180、360、720	
水样个数/个	6	6	6	6	

1.3 模拟水样预处理

模拟水样的预处理方法包括液液萃取和减压旋转蒸发浓缩. 主要过程如下:在 1 L 水样加入一定量的浓硫酸将水样 pH 调至 0.5,然后加入 100 g Na_2SO_4 使其饱和. 待 Na_2SO_4 完全溶解,将水样转移至分液漏斗并加入 100 mL 甲基叔丁基醚进行液液萃取,萃取结束后将上层有机相转移到减压旋转蒸发仪中,在 27% 下浓缩至 0.5 mL. 浓缩后的溶液再加入 10 mL 乙腈旋转蒸发至 0.5 mL. 在进行分析之前,将样品用超纯水稀释至 1 mL,并使用孔径为 $0.45 \text{ }\mu\text{m}$ 的 PTFE 膜过滤后储存在棕色液相小瓶中.

1.4 超高效液相色谱/电喷雾电离三重四极杆质谱分析

处理之后的样品首先使用 ESI-tqMS 分析,利用 PIS 方法检测样品中的极性溴代消毒副产物. 为了提高仪器对这些消毒副产物检测的灵敏度,相关质谱参数均进行了优化,优化后的参数如下:离子源模式,ESI 负离子;毛细管电压,2.8 kV;锥孔电压,30 V;碰撞能,30 eV;源温度,110℃;锥孔气流速,50 L·h⁻¹;脱溶剂温度,350℃;脱溶剂气流速,650 L·h⁻¹;碰撞气(Ar)流速,0.25 mL·min⁻¹;质谱分辨率,15.

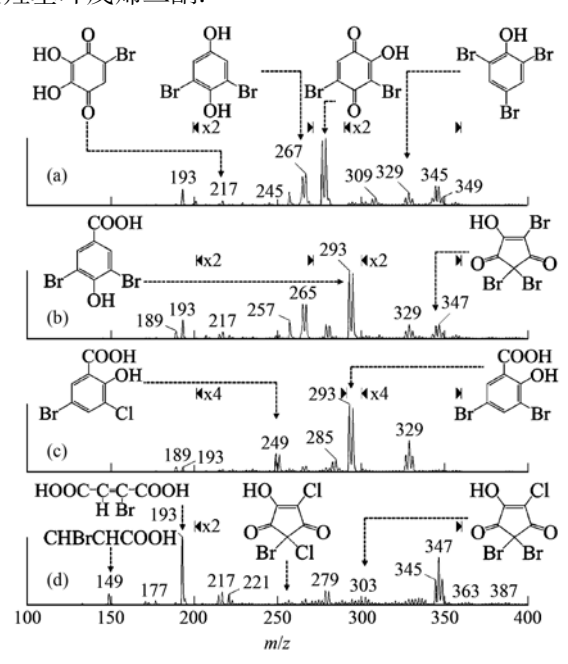
对于 PIS 方法检测到的极性溴代消毒副产物,根据氯、溴原子的同位素丰度比可以判断该物质所含氯、溴原子的个数,再通过子离子扫描谱图中母离子质量的丢失碎片信息可以推测其结构. 利用 UPLC 的多反应监测(MRM)功能来确定物质的保留时间,对比标准品的保留时间,利用标准加入法确定物质的结构和浓度. 其中 UPLC 使用美国 Waters 公司 Acquity HSS T3 色谱柱(2.1 mm×100 mm,1.8 μm),流动相由甲醇和水组成,流速为 0.40 mL·min⁻¹,从开始到 8 min 甲醇和水的体积比从 5/95升到 90/10,然后在 0.1 min 内恢复到 5/95,并保持恒定直到 11 min 结束.

2 结果与讨论

2.1 模拟水样中新型极性溴代消毒副产物的检测

根据 UPLC/ESI-tqMS PIS m/z 79/81,可以检测 到模拟水样中几乎所有的极性溴代消毒副产物,图 1 是 3,5-二溴-4-羟基苯甲醛、3,5-二溴-4-羟基苯甲酸、3,5-二溴水杨酸、2,4,6-三溴苯酚经氯消毒 12 h 后的 PIS 79 谱图,其中 m/z 149/151、193/195、215/217/219、249/251/253、293/295/297 和 327/

329/331/333 对应的溴代消毒副产物结构在本文和文献[19]中均得到了验证,分别是 2-溴丙烯酸、溴顺丁烯二酸、二溴乙酸、3-溴-5-氯-4-羟基苯甲酸、3-溴-5-氯水杨酸、3,5-二溴-4-羟基苯甲酸和 2,4,6-三溴苯酚. 同时还检测到一些由于缺乏标准品未能验证的化合物,分别为 m/z 217/219、265/267/269、279/281/283、295/297/299、257/259/261/263、301/303/305/307 和 345/347/349/351. 利用UPLC/ESI-tqMS中的MRM和子离子扫描所得到的碎片信息推测了它们的结构,分别是 2-溴-5,6-二羟基苯醌、3,5-二溴-2,6-二羟基苯醌、4,2-2,4-二氯羟基环戊烯二酮、4,4-二溴-2-二氯羟基环戊烯二酮和 2,4,4-三溴羟基环戊烯二酮.



(a) 3,5-二溴-4-羟基苯甲醛 + 次氯酸钠, pH 7.5; (b) 3,5-二 溴-4-羟基苯甲酸 + 次氯酸钠, pH 7.5; (c) 3,5-二溴水杨酸 + 次 氯酸钠, pH 7.5; (d) 2,4,6-三溴苯酚 + 次氯酸钠, pH 7.5

图 1 模拟水样消毒 12 h 后的 ESI-tqMS PIS 79 的谱图

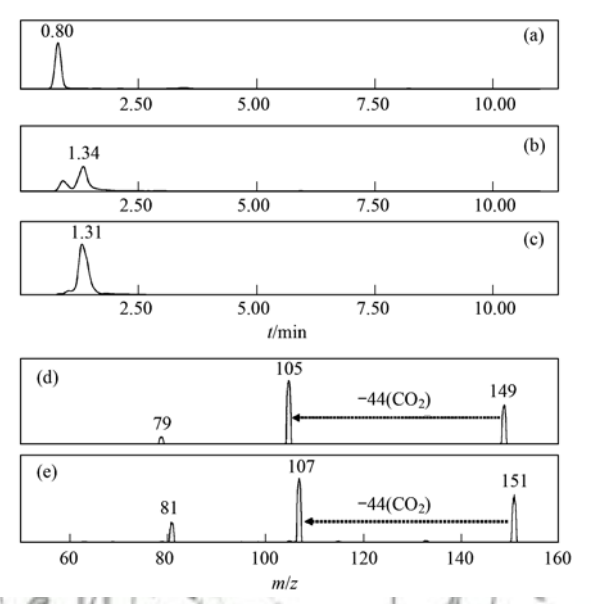
Fig. 1 ESI-tqMS PIS spectra of *m/z* 79 of the 12 hour chlorinated simulated sample

2.2 部分中间产物的验证

2.2.1 离子簇 m/z 149/151 的确认

如图 1 所示,在 PIS 79 谱图中离子簇 *m/z* 149/151 只有一个峰,说明这个化合物只含有一个溴原子(不含氯原子).图 2 显示了它在色谱中保留时间为 1 min 左右,可以推断该化合物属于脂肪族^[22].而在子离子扫描图中,可以看到为 *m/z* 44 的碎片丢失,说明该化合物含有一个羧基;该离子簇减去一个溴原子和一个羧基,*m/z* 还剩余 26(149 – 79 – 44

=26),又因为该化合物为脂肪族,所以剩余部分应该是 CH ==CH. 因此可以推断离子簇 m/z 149/151为 2-溴丙烯酸,为了确定它的结构,购买了 2-溴丙烯酸的标准品,由图 2 可见 2-溴丙烯酸标准品在UPLC/ESI-tqMS MRM(149→79,151→81)中的出峰时间为 0.80 min,而样品中 m/z 149/151的出峰时间为 1.34 min,利用标准加入法向样品中加入 2-溴丙烯酸标准品,观察到色谱图中没有出现新的峰并且原峰高明显增加,因此可确定该化合物就是 2-溴丙烯酸. 同种物质在不同样品中保留时间有差异是由于样品基质的影响.



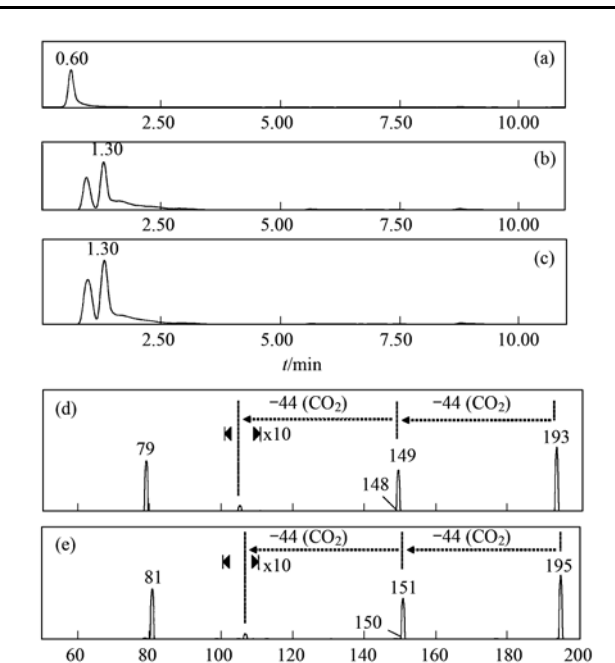
(a) 溴丙烯酸(标准品) 的色谱图; (b) 模拟水样中离子簇 m/z 149/151 的色谱图; (c) 加入标准品的模拟水样中离子簇 m/z 149/151 的色谱图; (d) ~ (e) 模拟水样中离子簇 m/z 149/151 的子离子扫描图

图 2 离子簇 m/z 149/151 的图谱验证

Fig. 2 Confirmation of ion cluster m/z 149/151

2.2.2 离子簇 m/z 193/195 的确认

如图 1 所示,在 PIS 79 谱图中离子簇 m/z 193/195 只有一个峰,说明这个化合物只含有一个溴原子(不含氯原子).图 3 显示了它在色谱中保留时间为 1 min 左右,可以推断该化合物属于脂肪族^[22].在子离子扫描图中,可以看到两个 m/z 为 44 的碎片丢失,说明该化合物含有两个羧基.该离子簇再减去一个溴原子和两个羧基,还剩余 26(193 - 79 - 2×44=26),又因为该化合物属于脂肪族有机物,所以剩余部分应该是CH ==CH.因此可以推断离子簇m/z 193/195 为溴顺丁烯二酸,为了确定它的结构,购买了溴顺丁烯二酸的标准品,同样利用标准加入法确定了该化合物就是溴顺丁烯二酸.



(a) 溴顺丁烯二酸(标准品)的色谱图; (b) 模拟水样中离子簇 m/z 193/195 的色谱图; (c) 加入标准品的模拟水样中离子簇 m/z 193/195 的色谱图; (d) ~ (e) 模拟水样中离子簇 m/z 193/195 的子离子扫描图

图 3 离子簇 m/z 193/195 的验证

Fig. 3 Confirmation of ion cluster m/z 193/195

2.2.3 离子簇 m/z 215/217/219 的确认

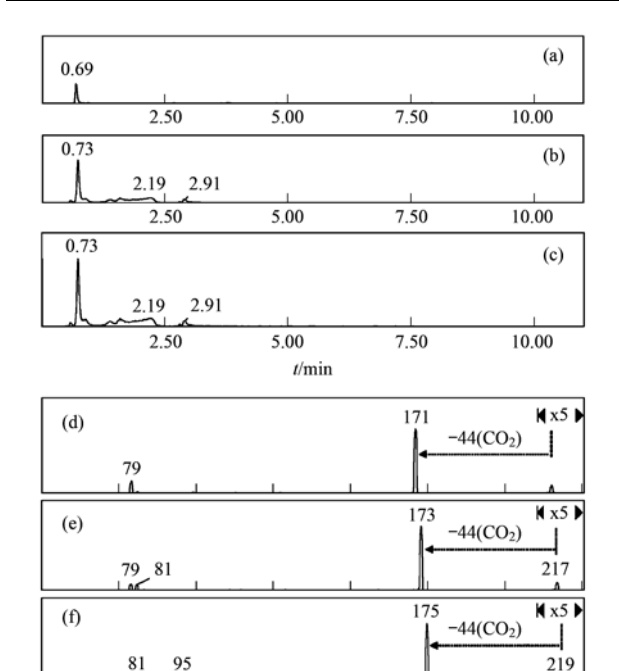
如图 1 所示,离子簇 m/z 215/217/219 在 PIS 79 谱图中有两个峰,且峰高比例为 1:1,说明这个化合物只含有两个溴原子(不含氯原子).图 4 显示了它在色谱中保留时间为 0.7 min 左右,可以推断该化合物属于脂肪族[22].在子离子扫描图中,观察到m/z 为 44 的碎片丢失,说明该化合物含有一个羧基.该离子簇再减去两个溴原子和一个羧基,m/z还剩余 13(215-79×2-44=13),所以剩余部分应该只能是 CH.因此可以推断离子簇 m/z 215/217/219 为二溴乙酸,为了确定它的结构,购买了二溴乙酸的标准品,同样利用标准加入法确定了该化合物就是二溴乙酸.

2.2.4 离子簇 *m/z* 249/251/253、293/295/297、327/329/331/333

使用上述相同的鉴定方法,可以确定离子簇 m/z 249/251/253、293/295/297、327/329/331/333 分别是 3-溴-5-氯-4-羟基苯甲酸,3-溴-5-氯水杨酸,3,5-二溴-4-羟基苯甲酸和 2,4,6-三溴苯酚.

2.2.5 离子簇 *m/z* 257/259/261/263、265/267/269、279/281/283、295/297/299、301/303/305/307 和 345/347/349/351 的结构推测

由于缺乏商业标准品,所以只能通过 PIS、



(a) 溴顺丁烯二酸(标准品) 的色谱图; (b) 模拟水样中离子簇 m/z 193/195 的色谱图; (c) 加入标准品的模拟水样中离子簇 m/z 215/217/219 的色谱图; (d) ~ (f) 模拟水样中离子簇 m/z 215/217/219 的子离子扫描图

175

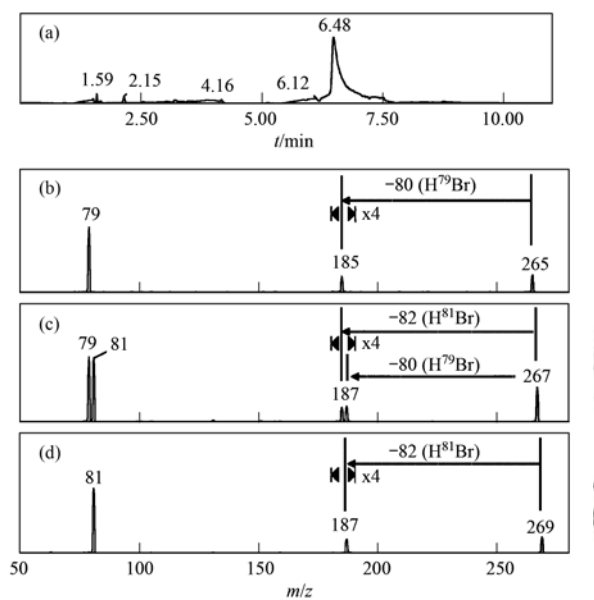
125

100

图 4 离子簇 m/z 215/217/219 的验证

Fig. 4 Confirmation of ion cluster m/z 215/217/219

MRM 和子离子扫描来尝试推测其结构. 下面以离 子簇 m/z 265/267/269 为例,如谱图 1 所示,离子簇 m/z 265/267/269 在 PIS 谱图中有 2 个峰,且峰高比 例为1:1,说明含有两个溴原子(不含氯原子). Zhai 等[22]在相关研究中发现,对于溴代消毒副产物来 说,它们在此液相条件下的出峰时间一般是溴代脂 肪酸 < 溴代苯甲酸 < 溴代苯酚, 溴代脂肪酸类消毒 副产物的出峰时间一般在 0~2.5 min, 溴代苯甲酸 类消毒副产物的出峰时间在 2.5~6.0 min 之内, 溴 代苯酚类消毒副产物的出峰时间范围在 6.0~8.0 min. 由图 5 可见,离子簇 m/z 265/267/269 在液相 色谱中的出峰时间为 6.48 min, 所以它含有苯环; 该离子簇减去两个溴原子和一个苯环, m/z 还剩余 35(265-79×2-72=35),其中两个溴已经占据了 苯环上两个取代位,剩余4个取代位只能是两个羟 基和两个氢,又因为它由本文所使用的模型化合物 生成,所以它最可能的结构为3,5-二溴对苯酚. 其 余离子簇的结构推测均采用相同的方法,推测离子 簇 m/z 257/259/261/263、279/281/283、295/297/ 299、301/303/305/307 和 345/347/349/351 分别是 2-溴-4,4-二氯羟基环戊烯二酮、3,5-二溴-2-羟基对 苯酚、4-溴-2,4-二氯羟基环戊烯二酮、2-氯-4,4-二溴羟基环戊烯二酮和 2,4,4-三溴羟基环戊烯二酮. Pan 等^[23]针对其中的三卤代羟基环戊烯二酮提出了一种新的鉴定方法,首先使用高分辨质谱来推测其可能的分子式;再使用液相制备色谱得到该物质的纯品(该物质在特定的时间出峰,收集该保留时间下的流动相,可以得到纯度较高的纯品);将得到的液体纯品冻干结成固态,对固态样品进行红外光谱分析,可以得到该物质所含官能团的信息,对比高分辨质谱所推测的分子式,确定最终的结构.



(a) 模拟水样中离子簇 m/z 26/267/269 的色谱图; (b) ~ (d) 模拟水样中离子簇 m/z 265/267/269 的子离子扫描图

图 5 离子簇 m/z 265/267/269 的验证

Fig. 5 Confirmation of ion cluster m/z 265/267/269

2.3 降解路径推测

为了进一步推测这 4 组苯酚类消毒副产物在氯化消毒过程中的降解机制,选取 4 组苯酚类消毒副产物中全溴代同系物(分别为 3,5-二溴-4-羟基苯甲醛、3,5-二溴-4-羟基苯甲酸、3,5-二溴水杨酸、2,4,6-三溴苯酚)来简化实验过程. 通过对比每组水样氯化消毒结束后 PIS 谱图中不同离子簇随时间的变化趋势(图 6),来推测其转化路径. 结果表明,3,5-二溴-4-羟基苯甲酸、3,5-二溴水杨酸在经氯消毒后都会生成 2,4,6-三溴苯酚,因此可以推断这 4 种物质具有相似的氯化降解路径. 由图 7 所示,首先 3,5-二溴-4-羟基苯甲醛上的醛基被氧化成羧基,生成 3,5-二溴-4-羟基苯甲酸;溴被次氯酸氧化成次溴酸,进而攻击苯环上的羧基发生亲核取代反应[24],生成 2,4,6-三溴苯酚;3,5-二溴水杨酸与 3,5-二溴-4-羟基苯甲酸为同分

异构体,也通过相同的反应路径转化为2,4,6-三溴苯酚.

图 6 为 2,4,6-三溴苯酚与次氯酸钠分别反应 10 min、30 min、1 h、3 h、6 h、12 h 后的 PIS 79 谱 图;从中可见三溴苯酚与次氯酸根反应很快,在10 min 内能完全转化为其它物质;然后次氯酸根继续 与水样中生成的中间产物反应,可以明显看出随反 应时间的增长, 离子簇 m/z 149/151、193/195、 215/217/219、以及 345/347/349/351 等随时间逐 渐增加,说明这些产物不易转化成其他产物或者转 化速率较慢; 离子簇 m/z 279/281/283 和 295/297/ 299 随时间先增后减, 离子簇 m/z 279/281/283 和 295/297/299 在 PIS 谱图中可以明显观察到,且随反 应时间增加呈现先增后降的趋势,说明它们是较为 重要的中间产物;而离子簇 m/z 265/267/269 随时 间一直在减少,说明反应一开始三溴苯酚与次氯酸 根反应迅速转化成该产物;该产物又能与次氯酸根 继续反应,最终生成一些溴代脂肪酸和一组较为稳 定的具有五元结构的卤代环戊酮.

根据 PIS 谱图中离子簇随时间的变化趋势进一步推测了三溴苯酚的具体氯化降解路径. 如图 7 所示,三溴苯酚首先水解生成 3,5-二溴对羟基苯酚(I),接着 3,5-二溴对羟基苯酚转化成 3,5-二溴-1,4-苯醌(II),3,5-二溴-1,4-苯醌与次氯酸根反应生成化合物 III,随后羟基取代苯环上剩余的氢或者溴生成化合物 IV和 XI. 其中化合物 XI 继续被氧化使得双键断裂生成化合物 XIII,最后化合物 XIII 脱掉两个羧基生成溴顺丁烯二酸;溴顺丁烯二酸被氧化发生脱羧反应或者碳碳键断裂最终生成溴丙烯酸和溴

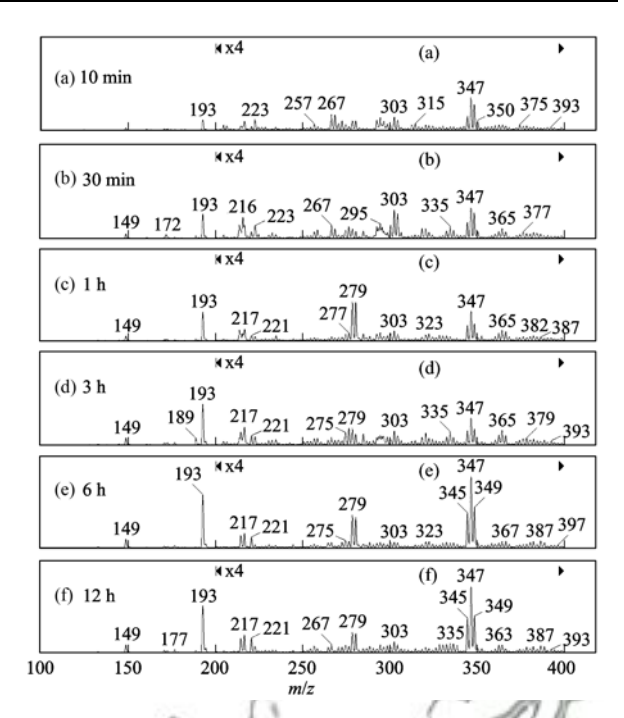


图 6 2,4,6-王溴苯酚与次氯酸反应不同时间的 PIS 79 谱图 Fig. 6 UPLC/ESI-tqMS PIS of 2,4,6-tribromophenol contact with HOCl

乙酸. 环戊烯二酮的生成路径可能有两条; 化合物 IV 水解转化为化合物 V, 化合物 V 的苯环收缩由六元环变成五元环化合物 VII^[25], 然后化合物 VII的羧基被溴取代生成三溴代-羟基环戊烯二酮; 或者化合物 IV 与次溴酸根反应生成化合物 XIII,然后苯环断裂生成化合物 IX,最后脱羧生成三溴代-羟基环戊烯二酮. 三溴代-羟基环戊烯二酮在氯消毒的环境中能够被氯取代生成氯溴代羟基环戊烯二酮和三氯代羟基环戊烯二酮. Pan 等^[23]鉴定了它的结构以及它在长三角地区的浓度分布情况,实验结果表明羟基环

Fig. 7 Proposed pathway of decomposition of four bromated phenolic DBPs

戊烯二酮在水体中相对较稳定不容易降解,因而关于它的毒性研究也很有必要.

3 结论

- (1)3,5-二卤-4-羟基苯甲醛、3,5-二卤-4-羟基苯甲酸、3,5-二卤水杨酸、2,4,6-三卤苯酚是近年来在饮用水中被鉴定的一组新型卤代苯酚类消毒副产物;3,5-二溴-4-羟基苯甲酸、3,5-二溴水杨酸在常规消毒条件下比较稳定,其中3,5-二溴水杨酸最稳定,而2,4,6-三溴苯酚最不稳定,通过取代、水解和氧化等反应能够快速转化或者降解成其它卤代消毒副产物.
- (2)3,5-二溴-4-羟基苯甲醛、3,5-二溴-4-羟基苯甲酸和3,5-二溴水杨酸在氯化消毒过程都能与次氯酸反应生成2,4,6-三溴苯酚,因此这4种物质具有相似的氯化降解路径;但是由于比较稳定,所以只有很少一部分转出成2,4,6-三溴苯酚.
- (3)2,4,6-三溴苯酚氯化降解速度很快,在与次 氯酸反应初始便能很快地转化成其它化合物,这些 中间产物会继续与次氯酸反应最终生成卤代 HAAs、卤代丙烯酸、卤代顺丁烯二酸以及三卤代-羟基环戊烯二酮等消毒副产物.

参考文献:

- [1] 徐倩,徐斌,覃操,等.水中典型含氮有机物氯化生成消毒副产物的潜能研究[J].环境科学,2011,32(7);1967-1973.
- [2] Jeong C H, Postigo C, Richardson S D, et al. Occurrence and comparative toxicity of haloacetaldehyde disinfection byproducts in drinking water [J]. Environmental Science & Technology, 2015, 49(23): 13749-13759.
- [3] Dodd M C, Huang C H. Transformation of the antibacterial agent sulfamethoxazole in reactions with chlorine; kinetics, mechanisms, and pathways [J]. Environmental Science & Technology, 2004, 38(21): 5607-5615.
- [4] Deborde M, Von Gunten U. Reactions of chlorine with inorganic and organic compounds during water treatment-Kinetics and mechanisms: a critical review [J]. Water Research, 2008, 42 (1-2): 13-51.
- [5] Reckhow D A, Singer P C. Mechanisms of organic halide formation during fulvic acid chlorination and implications with respect to preozonation [M]. Chelsea, MI: Lewis Publishers, Inc., 1985. 1229-1257.
- [6] Hu J, Qiang Z M, Dong H Y, et al. Enhanced formation of bromate and brominated disinfection byproducts during chlorination of bromide-containing waters under catalysis of copper corrosion products [J]. Water Research, 2016, 98: 302-308
- [7] Richardson S D. Drinking water disinfection by-products [A]. In: Meyers R A (Ed.). Encyclopedia of Environmental Analysis and Remediation [M]. New York: John Wiley & Sons, 1998.

- 1398-1421.
- [8] Landis M S, Kamal A S, Kovalcik K D, et al. The impact of commercially treated oil and gas produced water discharges on bromide concentrations and modeled brominated trihalomethane disinfection byproducts at two downstream municipal drinking water plants in the upper Allegheny River, Pennsylvania, USA [J]. Science of the Total Environment, 2016, 542: 505-520.
- [9] Hua G H, Reckhow D A, Kim J. Effect of bromide and iodide ions on the formation and speciation of disinfection byproducts during chlorination [J]. Environment Science & Technology, 2006, 40(9): 3050-3056.
- [10] Krasner S W, Weinberg H S, Richardson S D, et al. Occurrence of a new generation of disinfection byproducts[J]. Environment Science & Technology, 2006, 40(23): 7175-7185.
- [11] Yang M T, Zhang X R. comparative developmental toxicity of new aromatic halogenated DBPs in a chlorinated saline sewage effluent to the marine polychaete *Platynereis dumerilii*[J]. Environmental Science & Technology, 2013, 47(19): 10868-10876.
- [12] Richardson S D, Plewa M J, Wagner E D, et al. Occurrence, genotoxicity, and carcinogenicity of regulated and emerging disinfection by-products in drinking water: a review and roadmap for research [J]. Mutation Research/Reviews in Mutation Research, 2007, 636(1-3): 178-242.
- [13] Stalter D, O'Malley E, Von Gunten U, et al. Fingerprinting the reactive toxicity pathways of 50 drinking water disinfection by-products[J]. Water Research, 2016, 91: 19-30.
- [14] Plewa M J, Kargalioglu Y, Vankerk D, et al. Mammalian cell cytotoxicity and genotoxicity analysis of drinking water disinfection by-products [J]. Environmental and Molecular Mutagenesis, 2002, 40(2): 134-142.
- [15] Plewa M J, Wagner E D, Richardson S D, et al. Chemical and biological characterization of newly discovered iodoacid drinking water disinfection byproducts [J]. Environmental Science & Technology, 2004, 38(18): 4713-4722.
- [16] Echigo S, Itoh S, Natsui T, et al. Contribution of brominated organic disinfection by-products to the mutagenicity of drinking water[J]. Water Science & Technology, 2004, 50(5): 321-328
- [17] Richardson S D. The role of GC-MS and LC-MS in the discovery of drinking water disinfection by-products [J]. Journal of Environmental Monitoring, 2002, 4(1): 1-9.
- [18] Yang X, Shang C, Huang J C. DBP formation in breakpoint chlorination of wastewater [J]. Water Research, 2005, 39(19): 4755-4767.
- [19] Sun Y X, Wu Q Y, Hu H Y, et al. Effect of bromide on the formation of disinfection by-products during wastewater chlorination [J]. Water Research, 2009, 43(9): 2391-2398.
- [20] Zhang X R, Talley J W, Boggess B, et al. Fast selective detection of polar brominated disinfection byproducts in drinking water using precursor ion scans [J]. Environment Science & Technology, 2008, 42(17): 6598-6603.
- [21] Pan Y, Zhang X R. Four groups of new aromatic halogenated disinfection byproducts: effect of bromide concentration on their formation and speciation in chlorinated drinking water [J]. Environment Science & Technology, 2013, 47 (3): 1265-1273.
- [22] Zhai H Y, Zhang X R. Formation and decomposition of new and

- unknown polar brominated disinfection byproducts during chlorination [J]. Environment Science & Technology, 2011, 45 (6): 2194-2201.
- [23] Pan Y, Li W B, Li A M, et al. A new group of disinfection byproducts in drinking water: trihalo-hydroxy-cyclopentenediones [J]. Environment Science & Technology, 2016, 50(14): 7344-7352.
- [24] Larson R A, Rockwell A L. Chloroform and chlorophenol production by decarboxylation of natural acids during aqueous chlorination[J]. Environment Science & Technology, 1979, 13 (3): 325-329.
- [25] McComas C C, Perales J B, Van Vranken D L. Synthesis of (±)-madindolines and chemical models. Studies of chemical reactivity[J]. Organic Letters, 2002, 4(14): 2337-2340.

《环境科学》征稿简则

- 1. 来稿报道成果要有创新性,论点明确,文字精炼,数据可靠.全文不超过8000字(含图、表、中英文摘要及参考文献).国家自然科学基金项目、国家科技攻关项目、国际合作项目或其它项目请在来稿中注明(在首页以脚注表示).作者投稿时请先登陆我刊网站(www. hjkx. ac. cn)进行注册,注册完毕后以作者身份登录,按照页面给出的提示信息投稿即可.
- 2. 稿件请按 GB 7713-87《科学技术报告、学位论文和学术论文的编写格式》中学术论文的规范撰写. 论文各部分的排列顺序为:题目;作者姓名;作者工作单位、地址、邮政编码;中文摘要;关键词;中图分类号;英文题目;作者姓名及单位的英译名;英文摘要;关键词;正文;致谢;参考文献.
 - 3. 论文题目应简练并准确反映论文内容,一般不超过20字,少用副标题.
- 4. 中文摘要不少于 300 字,以第三人称写. 摘要内容包括研究工作的目的、方法、结果(包括主要数据)和结论,重点是结果和结论. 英文摘要与中文对应,注意人称、时态和语言习惯,以便准确表达内容.
 - 5. 前言包括国内外前人相关工作(引文即可)和本工作的目的、特点和意义等. 科普知识不必赘述.
- 6. 文中图表应力求精简,同一内容不得用图表重复表达,要有中英文对照题目.图应大小一致,曲线粗于图框,图中所有字母、文字字号大小要统一.表用三线表.图表中术语、符号、单位等应与正文一致.
- 7. 计量单位使用《中华人民共和国法定计量单位》(SI). 论文中物理计量单位用字母符号表示,如 mg(毫克),m(米),h(小时)等. 科技名词术语用国内通用写法,作者译的新名词术语,文中第一次出现时需注明原文.
 - 8. 文中各级标题采用 1,1.1,1.1.1 的形式, 左起顶格书写, 3 级以下标题可用(1), (2) ……表示, 后缩 2 格书写.
- 9. 文中外文字母、符号应标明其大小写,正斜体.生物的拉丁学名为斜体.缩略语首次出现时应给出中文全称,括号内给出英文全称和缩略语.
 - 10. 未公开发表资料不列入参考文献,可在出现页以脚注表示. 文献按文中出现的先后次序编排. 常见文献书写格式为: 期刊:作者(外文也要姓列名前). 论文名[J]. 期刊名,年,卷(期);起页-止页.
 - 图书:作者.书名[M].出版地:出版社,年.起页-止页.
 - 会议文集:作者. 论文名[A]. 见(In):编者. 文集名[C]. 出版地:出版社(单位),年. 起页-止页.
 - 学位论文:作者.论文名[D].保存地:保存单位,年份.
 - 报告:作者.论文名[R].出版地:出版单位,出版年.
 - 专利:专利所有者.专利题名[P].专利国别:专利号,出版日期.
- 11. 来稿文责自负,切勿一稿多投. 编辑对来稿可作文字上和编辑技术上的修改和删节. 在 3 个月内未收到本刊选用通知,可来电询问.
- 12. 投稿请附作者单位详细地址,邮编,电话号码,电子邮箱等. 编辑部邮政地址:北京市 2871 信箱;邮编:100085;电话:010-62941102,010-62849343;传真:010-62849343;E-mail:hjkx@rcees. ac. cn; 网址:www. hjkx. ac. cn

HUANJING KEXUE

Environmental Science (monthly)

Vol. 38 No. 8 Aug. 15, 2017

CONTENTS

CONTENTS	
Evaluation and Development of a Weighing Chamber by Using Saturated MgCl ₂ Solution ·····	
Characteristics Research on Carbonaceous Component of Particulate Matter Emitted from Iron and Steel Industry	
Pollution Characteristics and Source Identification of PAHs in Atmospheric PM _{2,5} in Changzhou City	
Atmospheric Dry Deposition Fluxes and Sources of Polycyclic Aromatic Hydrocarbons in Lanzhou Valley, Northwest China	
Characteristics and Sources of Elements in Atmospheric Dust Fall in Zhuzhou City, Central China	
Atmospheric Pollutant Emission Characteristics from the Cooking Process of Traditional Beijing Roast Duck	
Exhaust Emission Characteristics of Typical Alkanes from Heavy-Duty Diesel Vehicles Based on a Portable Emission Measurement Sys	tem ·····
PM ₁₀ Concentration Forecasting Model Based on Wavelet-SVM ····	····· WANG Ping, ZHANG Hong, QIN Zuo-dong, et al. (3153)
Emission Factors and Preliminary Emission Estimates of Air Pollutants from Ships at Berth in the Guangzhou Port	
Influence of Dust Events on the Concentration and Size Distribution of Microorganisms in Bioaerosols	
Odor Emission Characteristics and Pollution Evaluation from Typical Household Rubbish Disposal Facilities	
Perfluorinated Compounds in Snow from Downtown Hangzhou, China	
Fluorescence Characterization of Fractionated Colloids in Wastewaters Received by Huangpu River	······ NIE Ming-hua, YAN Cai-xia, YANG Yi, et al. (3192)
Sources of Organic Carbon in the Surface Water of Lijiang River	ZHAO Hai-juan, XIAO Qiong, WU Xia, et al. (3200)
Impacts of Thermal Stratification on the Hydrochemistry and Dissolved Inorganic Carbon in a Typical Karst Reservoir in Summer	WU Fei-hong, PU Jun-bing, LI Jian-hong, et al. (3209)
Comparison of Heavy Metal Contamination Characteristics in Surface Water in Different Functional Areas; A Case Study of Ningbo	XU Mei-juan, TONG Gui-hua, SUN Dan, et al. (3218)
Comparison of Identification Methods of Main Component Hydrochemical Anomalies in Groundwater: A Case Study of Liujiang Basin	
	··· ZHANG Xiao-wen, HE Jiang-tao, PENG Cong, et al. (3225)
Biotic and Abiotic Uptake of Phosphorus in Benthic Sediments of Suburban Streams Under Intense Human Disturbance Scenario	
Sedimentary Phosphorus Speciation in the Coastal Hypoxic Area of Changjiang Estuary and Its Environmental Significance	
Characteristics and the Relationship of Nitrogen and Phosphorus in Soil and Water of Different Land Use Types of a Small Watershed	
Commence and the recursion of the response in our and the contract of the cont	····· CHEN Cheng-long GAO Ming MIJ Zhi-iian et al. (3254)
Characteristics of Carbon Transportation Under Rainfall Events and Associated Carbon Loss Evaluation in Loess Plateau, China: A Ca	
Characteristics of Carbon Hansportation Circle Raman Erens and Associated Carbon Eloss Evaluation in Elocs Fatical, Clinia; A Carbon Eloss Elos Elos Elos Elos Elos Elos Elo	F Vin-hui WANC Va-fang CAO Vang et al. (3264)
New Bromated Phenolic Disinfection Byproducts: Mechanism of Their Decomposition During Chlorination	
Effects of Algal Morphology and Al Species Distribution on the Coagulation-Ultrafiltration Process	
Functional Group Characteristics of Planktonic Diatoms and Their Relationship with Environmental Factors in the Ruxi River	
Spatiotemporal Variations of Chlorophyll a and Its Relationship to Environmental Factors in Shiyan Reservoir	
Spanotemporar variations of Uniorophyli a and its Relationship to Environmental Factors in Shiyan Reservoir Rhizosphere Microbial Diversity in Different Wetland Microcosms	
Community Structure of Microorganisms and Its Seasonal Variation in Beihai Lake	
Analysis of Microbial Diversity in a Fluidized-Sand Biofilter Based on High-Throughput Sequencing Technology ZHAN	
Analysis of High-efficiency Denitrifying Bacteria and Embedding Filler Performance and Microflora	
Selection of Microalgae for Biofuel Using Municipal Wastewater as a Resource	
Purification Effect of Piggery Wastewater with Chlorella pyrenoidosa by Immobilized Biofilm-Attached Culture	
Combination of Microbubble Catalytic Ozonation and Biological Process for Advanced Treatment of Biotreated Coal Chemical Wastewat	the classification of the control of
Effect of pH Shock on Nitrogen Removal Performance of Marine Anaerobic Ammonium-Oxidizing Bacteria Treating Saline Wastewater	
Removal of Nitrogen from Alcohol Wastewater by PN-ANAMMOX	
Biorecovery of Palladium from Simulated Wastewaters and Its Catalytic Property for Methylene Blue	
Investigation of Initiation and Shock Process of ANAMMOX Based on Color Space	
Fast Start-up of Shortcut Nitrification in a CSTR and an MBR	
Conversion Pathways of Substrates in Sulfate-Reducing Ammonia Oxidation System	
Effect of Different TOC to NH ₄ ⁺ -N Ratios on Nitrogen Removal Efficiency in the ANAMMOX Process ·····	
Effects of Salinity on the Operation of EGSB Reactors and the Anaerobic Granular Sludge	
Start-up of Granule CANON Process and the Strategy for Enhancing Total Nitrogen Removal Rate	
$Effect \ of \ Extracellular \ Polymeric \ Substance \ (EPS) \ on \ the \ Adsorption \ of \ Perfluorooctane \ Sulfonate \ (PFOS) \ onto \ Activated \ Sludge \ \cdots$	
${\it Characteristics of N_2O \ and \ NO_x \ Emissions \ from \ Purple \ Soil \ Under \ Different \ Fertilization \ Regimes}$	
Effect of Plastic Film Mulching on Methane Emission from a Vegetable Field	······· ZHANG Kai-li, HAO Qing-ju, FENG Di, et al. (3451)
Responses of Soil Ammonia Oxidizers to Simulated Warming and Increased Precipitation in a Temperate Steppe of Inner Mongolia	····· ZHANG Cui-jing, SHEN Ju-pei, SUN Yi-fei, et al. (3463)
Nitrification Activity and Autotrophic Nitrifiers in Long-term Fertilized Acidic Upland Soils	
Effects of CaCO ₃ Application on Soil Microbial Nitrogen Cycle in an Acid Soil	GUO An-ning, DUAN Gui-lan, ZHAO Zhong-qiu, et al. ($3483)$
Responses of Extracellular Enzymes to Nitrogen Application in Rice of Various Ages with Rhizosphere and Bulk Soil	····· WEI Liang, TANG Zhen-zhu, ZHU Zhen-ke, et al. (3489)
Variation in the Temperature Sensitivity of Surface Litter Respiration and Its Influencing Factors	
Magnetic Properties of Farmland Soils in Arid Regions in Northwest China and Their Environmental Implications	
Preparation of Magnetic Biomass Carbon by Thermal Decomposition of Siderite Driven by Wheat Straw and Its Adsorption on Cadmium	
Effects of Traffic-related Air Pollution Exposure on DNA Methylation	· · · · · · · · · · · · · · · · · · ·
Effects of Exogenous Microorganism Inoculation on Efficiency and Bacterial Community Structure of Sludge Composting	_
Life Cycle Assessment of Traction Lead-acid Batteries for Electric Bikes in China	
	, p., oim, ma jun (3347)